虎杖苷对慢性阻塞性肺疾病大鼠 PI3K/AKT/mTOR 通路以及气道炎症的影响

史方海, 陈忠仁

海口市人民医院 呼吸内科,海南 海口 570208

摘 要:目的 构建慢性阻塞性肺疾病(COPD)大鼠模型,探讨虎杖苷对COPD 大鼠 PI3K/AKT/mTOR 通路以及气道炎症的影响。方法 100 只 Wistar 大鼠随机分为对照组、模型组、地塞米松(0.2 mg/kg,阳性药)组和虎杖苷低、高剂量(30、60 mg/kg)组,每组 20 只。除对照组外,其他组熏香烟加气管注射内毒素法制备 COPD 模型,COPD 造模前 1 d开始 ig 给药,每天 1 次,持续 30 d。ELISA 法检测支气管肺泡灌洗液(BALF)中肿瘤坏死因子(TNF)- α 和白细胞介素(IL)-6 水平;RSE3020 肺功能检测仪测定用力肺活量(FVC)、第 1 秒用力呼气容积(FEV₁)、呼气峰流速(PEF);取肺组织 4%甲醛固定后制作切片,HE 染色,并进行肺组织损伤病理评分;Western blotting 检测肺组织 PI3K、AKT、mTOR 蛋白表达。结果 虎杖苷高、低剂量组大鼠 BALF 中 TNF- α 和 IL-6 表达水平、肺组织损伤病理评分以及 PI3K、AKT 和 mTOR 蛋白表达均显著低于模型组(P<0.01);虎杖苷高、低剂量组大鼠 FVC、FEV₁、PEF 肺功能指标显著高于模型组(P<0.01)。结论 虎杖苷可以抑制 COPD 大鼠 PI3K/AKT/mTOR 通路,抑制气道炎症,发挥肺损伤保护作用。

关键词:虎杖苷;慢性阻塞性肺疾病(COPD);PI3K/AKT/mTOR信号通路;气道炎症;大鼠

中图分类号: R285.5 文献标志码: A 文章编号: 1674-6376(2020) 10-1983-05

DOI: 10.7501/j.issn.1674-6376.2020.10.010

Effects of polydatin on PI3K/AKT/mTOR pathway and airway inflammation in rats with chronic obstructive pulmonary disease

SHI Fanghai, CHEN Zhongren

Department of respiratory medicine, Haikou People's Hospital, Haikou 570208, China

Abstract: Objective To observe the effects of polydatin on PI3K/AKT/mTOR pathway and airway inflammation in rats with chronic obstructive pulmonary disease (COPD). Methods Totally 100 Wistar rats were devided into control group, model group, dexamethasone (0.2 mg/kg, positive drug) group and low and high dose of polydatin (30, 60 mg/kg) groups, with 20 rats in each group. Except for control group, the COPD models were prepared bypassive cigarette smoking and intratracheal. Ig administration was started one day before COPD modeling, once a day, lasting for 30 days. The expression of TNF-α and IL-6 in BALF was detected by ELISA analysis. The FVC, FEV₁, and PEF was used to determined lung function. HE staining was used to determined pathological score of lung tissue injury (LDPS scores). Western blot was used to detect protein expression of PI3K, AKT and mTOR in lung tissue. Results The expression of TNF-α and IL-6 in BALF, LDPS scores, expression of PI3K, AKT, mTOR in low and high dose of polydatin group was significantly lower than that in COPD model group (P < 0.01) and the FVC, FEV₁, and PEF was significantly higher than that in COPD model group (P < 0.01). Conclusion Polydatin can inhibit PI3K/AKT/mTOR pathway to block airway inflammation in rats and protect lung destroy in COPD rats.

Key words: polydatin; chronic obstructive pulmonary disease (COPD); PI3K/AKT/mTOR pathway; airway inflammation; rat

慢性阻塞性肺疾病(chronic obstructive pulmonary disease, COPD)表现为气道慢性炎症,因为环境污染和人口老龄化进程的加剧,COPD的人群发病率

逐年升高,1990—2015年增加了44.2%,开发COPD的预防和治疗药物有着广阔的临床应用前景^[1]。虎杖苷是从虎杖根中提取的一种天然化合物,具有抗

收稿日期: 2019-12-04

基金项目:海南省自然科学基金面上项目(818MS136)

第一作者: 史方海(1987—),男,主治医师,研究方向为呼吸内科。E-mail: hnhk2010@126.com

炎、抗氧化和抗肿瘤作用^{D-3}。磷脂酰肌醇 3-激酶 (phosphatidylinositol-3-kinase, PI3K)/丝氨酸-苏氨酸蛋白激酶(AKT)/雷帕霉素靶蛋白(mammalian target of rapamycin, mTOR)通路是机体内一条重要的炎性通路,参与到COPD的气道高炎症反应中^[4]。本研究构建COPD大鼠模型,探讨虎杖苷对PI3K/AKT/mTOR通路以及气道炎症的影响。

1 材料

1.1 实验动物

100 只健康清洁级 Wistar 雄性大鼠,12 周龄,体质量210~240 g,购自海南医学院动物实验中心,实验动物生产许可证号 SCXK(琼)2018-0011,自由摄食饮水,清洁级适应性喂养1 周后进行实验。所有实验方案均经本院动物研究委员会批准。

1.2 试剂与仪器

虎杖苷购自美国 Sigma 公司(批号 20181226,粉剂,质量分数 \geq 98%);肿瘤坏死因子(TNF)-α和白细胞介素(IL)-6检测试剂盒,购自北京中杉金桥公司; PI3K、AKT、mTOR、β-actin 抗体购自美国 Abcam公司。

MK3 酶标仪,美国 Thermo 公司; BH2 显微镜, 日本 Olympus 公司; RSE3020 肺功能检测仪,贝兰博 科技有限公司产品; CW-SAR-830/AP 小动物呼吸 机,美国 WPI 公司产品;垂直电泳仪,美国 Bio-rad 公司。

2 方法

2.1 大鼠 COPD 动物模型的建立

实验大鼠使用数字表法随机分为对照组、模型组、地塞米松(0.2 mg/kg,阳性药)组和虎杖苷低、高剂量(30、60 mg/kg)组,每组20只。对照组不作造模处理,仅用生理盐水滴注气管;其他组参照李红梅等^[5]的方法造模,第1天大鼠ip 0.45%戊巴比妥钠(50 mg/kg)麻醉后,经气管注射脂多糖(LPS,200 mg、200 μL),第2天置于烟室,连续吸入30 min/d烟雾,持续14 d,第15天再次麻醉后气管给予LPS,第16天开始继续吸入烟雾持续14 d。参考周勇等^[2]的方法,地塞米松和虎杖苷低、高剂量组在COPD造模前1d开始ig给药,每天1次,持续30d,期间进行COPD造模处理,造模期间无大鼠死亡。

2.2 支气管肺泡灌洗液(BALF)中 TNF-α和 IL-6 水平测定

各组大鼠经戊巴比妥钠麻醉后,对肺支气管进行肺泡灌洗,收集BALF,1500 r/min离心10 min,取上清使用ELISA 法检测TNF-α和IL-6表达水平,严

格按照试剂盒说明书操作。

2.3 肺功能测定

大鼠经戊巴比妥钠麻醉后,暴露气管,连接小动物呼吸机,RSE3020肺功能检测仪测定用力肺活量(FVC)、第1秒用力呼气容积(FEV₁)、呼气峰流速(PEF)。

2.4 肺组织病理学观察

大鼠麻醉后处死,取肺组织4%甲醛固定后制作HE染色切片。显微镜下根据周勇等^[2]的方法进行肺组织损伤病理评分:无病变为0分;轻度肺泡内水肿、炎性细胞浸润为1分;中度肺泡内水肿、炎性细胞浸润为2分;重度肺泡内水肿、炎性细胞浸润、伴有管腔破坏为3分。

2.5 组织蛋白表达的Western blotting检测

大鼠麻醉后处死,取肺组织 50 mg,超声研磨成组织匀浆,加入蛋白裂解液,提取细胞总蛋白,10% SDS-PAGE 凝胶电泳后转印至聚偏氟乙烯膜(PVDF)膜,室温下用 5% 脱脂乳封闭 1 h后,加入PI3K、AKT、mTOR或β-actin一抗,4%严育过夜,加入辣根过氧化物酶结合的二抗孵育 2 h,化学发光后扫描条带,Bandscan 5.0 软件分析各条带灰度值,以6-actin为对照计算目的蛋白的相对灰度值。

2.6 统计学分析

采用 SPSS 17.0 统计软件分析,多组均数间比较使用方差分析,组间两两比较采用 LSD-t 检验。

3 结果

3.1 对 COPD 大鼠 BALF 中 TNF-α 和 IL-6 表达的 影响

与对照组比较,模型组 $TNF-\alpha$ 和 IL-6水平显著 升高(P<0.01);与模型组比较,地塞米松和虎杖苷 低、高剂量组 $TNF-\alpha$ 和 IL-6水平显著下降(P<0.01),且虎杖苷作用呈剂量相关性。见表1。

表1 各组大鼠 BALF中 TNF- α 和 IL-6 表达的比较 $(x\pm s, n=20)$

Table 1 Comparison of TNF- α and IL-6 expression in BALF of rats in each group ($\bar{x}\pm s$, n=20)

—————— 组别	剂量/	TNF-α/	IL-6/
组加	$(mg{\cdot}kg^{-1})$	$(\mu mol{\cdot}L^{-1})$	$(\mu mol{\cdot}L^{-1})$
对照	_	4.33±0.52	2.25±0.32
模型	_	44.36±5.82**	32.14±4.35**
地塞米松	0.2	20.43±3.16##	$14.31 \pm 1.73^{\#}$
虎杖苷	30	33.25±4.72##	23.62±3.36##
	60	26.24±3.27##	18.62±2.05##

与对照组比较:**P<0.01;与模型组比较:#*P<0.01

^{**}P < 0.01 vs control group; **P < 0.01 vs model group

3.2 对COPD大鼠肺功能的影响

与对照组比较,模型组大鼠 $FVC \setminus FEV_1 \setminus PEF$ 均显著下降(P < 0.01);与模型组比较,地塞米松和虎杖苷低、高剂量组大鼠 $FVC \setminus FEV_1 \setminus PEF$ 均显著升高(P < 0.01),且虎杖苷作用呈剂量相关性。见表2。

3.3 对 COPD 大鼠肺组织损伤病理的影响

镜下见模型组大鼠肺泡内水肿、间质炎症细胞浸润,各给药组均明显好转。见图1。与对照组比较,模型组肺组织损伤病理评分均显著升高(P<0.01);与模型组比较,地塞米松和虎杖苷低、高剂量组肺组织损伤病理评分均显著降低(P<0.01),且虎杖苷作用呈剂量相关性。见表3。

3.4 对COPD大鼠PI3K/AKT/mTOR通路的影响

与对照组比较,模型组PI3K、AKT、mTOR蛋白表达均显著升高(P<0.01);与模型组比较,地塞米松和虎杖苷低、高剂量组PI3K、AKT、mTOR蛋白表达均显著下降(P<0.01),且虎杖苷作用呈剂量相关性。见图2和表4。

4 讨论

COPD的基本病理改变表现为气道的慢性炎症,抑制气道炎症激活是目前防治 COPD疾病的主要方向。虎杖苷是植物虎杖的提取物,具有镇咳、去痰、平喘、抗菌、消炎、清除自由基的功效,现代药理研究显示,虎杖苷可以抑制细胞溶酶体酶释放,阻止白细胞附壁过程,赵雨喆等[6]研究显示,虎杖苷

表 2 各组大鼠 FVC、FEV₁、PEF指标的比较($\bar{x}\pm s$, n=20)
Table 2 Comparison of FVC, FEV₁, and PEF of rats in each group ($\bar{x}\pm s$, n=20)

组别	剂量/(mg•kg ⁻¹)	FVC/mL	FEV ₁ /mL	PEF/(L•min ⁻¹)	
对照	_	8.02±0.75	4.64±0.38	3.86±0.34	
模型	_	2.92±0.30**	$1.07 \pm 0.14^{**}$	$0.82 \pm 0.11^{**}$	
地塞米松	0.2	6.62±0.52##	$3.73{\pm}0.32^{\#}$	$3.04{\pm}0.28^{\#}$	
虎杖苷	30	4.47±0.42##	2.54±0.27##	1.63±0.21##	
	60	$5.53{\pm}0.56^{\text{##}}$	$3.13{\pm}0.31^{\text{##}}$	2.28±0.25##	

与对照组比较:**P<0.01;与模型组比较:#*P<0.01

^{**}P < 0.01 vs control group; **P < 0.01 vs model group

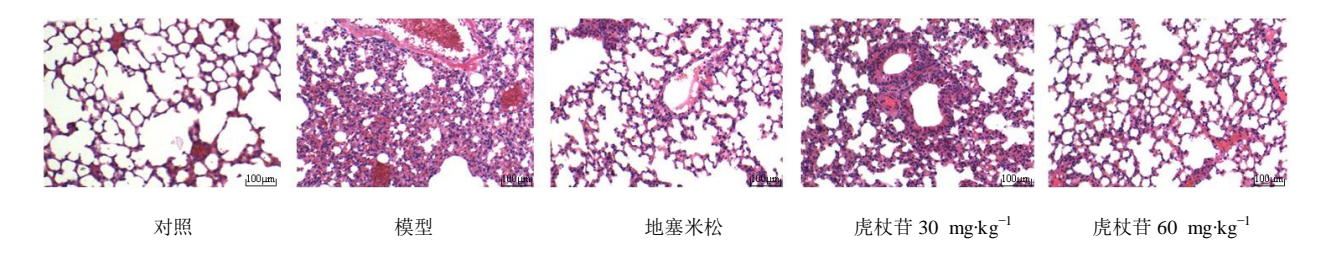


图1 肺组织的HE染色(400×)

Fig. 1 HE staining of lung tissue $(400 \times)$

表 3 各组大鼠肺组织病理损伤评分($\bar{x}\pm s, n=20$)
Table 3 Pathological injury score of lung tissue of rats in each group ($\bar{x}\pm s, n=20$)

3 1 ()				
组别	剂量/(mg·kg ⁻¹)	肺组织病理损伤评分		
对照	_	0.07 ± 0.01		
模型	_	2.62±0.27**		
地塞米松	0.2	$1.26\pm0.14^{\#}$		
虎杖苷	30	2.13±0.22 ^{##}		
	60	$1.67 \pm 0.16^{\#}$		

与对照组比较:**P<0.01;与模型组比较:#P<0.01

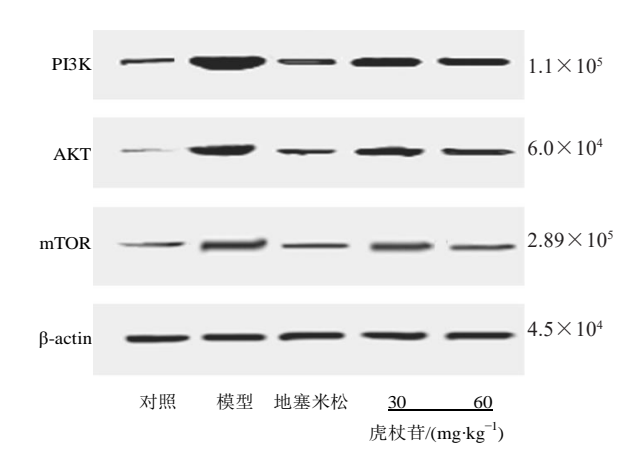


图 2 PI3K、AKT、mTOR蛋白的 Western blotting 检测 Fig. 2 Western blotting of PI3K, Akt and mTOR proteins

^{**}P < 0.01 vs control group; **P < 0.01 vs model group

表 4 各组大鼠肺组织 PI3K、AKT、mTOR蛋白表达相对灰度值的比较(x±s,n=5) Table 4 Comparison of relative gray value of PI3K, Akt and mTOR protein expression in lung tissue of rats in each group (x±s,n=5)

分组	剂量/(mg•kg ⁻¹)	PI3K/β-actin	AKT/β-actin	mTOR/β-actin		
对照	_	0.18±0.03	0.07±0.01	0.12±0.02		
模型	_	$2.34 \pm 0.37^{**}$	2.04±0.31**	$1.87 \pm 0.24^{**}$		
地塞米松	0.2	$0.24 \pm 0.05^{\#}$	$0.17 \pm 0.03^{\#}$	$0.18{\pm}0.04^{\#}$		
虎杖苷	30	1.62±0.28##	$1.05\pm0.12^{##}$	$0.92 \pm 0.17^{\text{##}}$		
	60	1.05±0.22##	$0.72\pm0.13^{##}$	$0.56 \pm 0.11^{##}$		

与对照组比较:**P<0.01;与模型组比较:#*P<0.01

可以显著减轻哮喘模型小鼠的气道炎症。本研究显示,虎杖苷组 COPD 大鼠 BALF 中 TNF-α和 IL-6 表达水平显著低于模型组,且作用呈剂量相关性,说明了虎杖苷可以降低 COPD 大鼠的气道炎症。肺组织损伤病理评分结果也显示了虎杖苷可以剂量相关性地抑制 COPD 大鼠的肺损伤,同时肺功能检测也发现虎杖苷可以剂量相关性地改善 COPD 大鼠的肺功能。上述结果提示,虎杖苷可以抑制 COPD 大鼠的气道炎症,发挥 COPD 肺损伤的保护作用,地塞米松组作为一个阳性对照也获得了类似的结果,说明了本研究动物研究模型的可靠性。

PI3K/AKT/mTOR 通路是体内主要的炎性调控 通路[7], PI3K激活后可以和AKT的N端PH结构域 结合[8],PI3K的脂类激酶活性,能催化AKT磷酸化, 磷酸化的AKT可以从细胞质转移到细胞膜上,通过 直接和间接两种途径激活底物 mTOR 蛋白,调节下 游细胞生长、增殖和炎症靶基因的表达[9]。Wang 等[10]的研究显示,上调PI3K/AKT/mTOR通路可以 激活呼吸道平滑肌细胞增殖、迁移和黏附功能,以 及细胞外基质(ECM)成分的积累,促使气道壁增 厚,发挥致COPD病变作用;李敏静等[11]的研究显 示,抑制COPD大鼠PI3K/AKT/mTOR信号通路可 以阻止气道平滑肌细胞增殖和炎症反应,发挥治疗 作用:钟华林等[12]在鼻咽癌的研究发现,虎杖苷可 以抑制 PI3K/AKT/mTOR 信号通路。本研究检测了 虎杖苷对COPD大鼠PI3K/AKT/mTOR信号通路的 影响,发现虎杖苷组大鼠PI3K、AKT、mTOR蛋白表 达显著低于COPD模型组,且作用呈剂量相关性,说 明了虎杖苷可以抑制 COPD 大鼠 PI3K/AKT/mTOR 信号通路,地塞米松作为一个阳性对照也获得了类 似的结果,说明了本研究动物模型的可靠性。虎杖 苷对COPD大鼠气道炎症的抑制作用可能是通过抑 制PI3K/AKT/mTOR通路实现的。

本研究显示,虎杖苷可以抑制 COPD 大鼠 PI3K/AKT/mTOR 通路,抑制气道炎症,发挥肺损伤保护作用。

参考文献

- [1] Vyas P, Vohora D. Phosphoinositide-3-kinases as the novel therapeutic targets for the inflammatory diseases: Current and Future Perspectives [J]. Curr Drug Targets, 2017, 18(14): 1622-1640.
- [2] 周 勇, 余 洋, 程文涛, 等. 虎杖苷对慢性阻塞性肺疾病 大鼠气道炎症及 TLR4/NF-κB 信号通路的影响 [J]. 中 药药理与临床, 2019, 35(2): 35-40.
- [3] 潘纪红,王海滨,杜晓飞,等.虎杖苷通过PI3K/AKT/mTOR信号通路诱导人宫颈癌细胞凋亡的初步研究[J].中国中药杂志,2017,42(12):2345-2349.
- [4] 张明华, 税明明, 姚 俊, 等. 血清硒水平对老年慢性阻塞性肺疾病患者临床诊断价值及其与 PI3K/AKT/mTOR通路蛋白水平的关系分析 [J]. 临床和实验医学杂志, 2017, 16(18):1841-1844.
- [5] 李红梅, 崔德健, 佟 欣, 等. 熏香烟加气管注内毒素和单纯熏香烟建立大鼠 COPD模型 [J]. 中国病理生理杂志, 2002, 18(7): 808-812.
- [6] 赵雨喆,姜京植,叶晶,等.虎杖苷通过p38 MAPK/Nrf2/HO-1通路减轻小鼠哮喘模型气道炎症[J].中国药理学通报,2018,34(6):851-856.
- [7] Wu Z, Luan Z, Zhang X, et al. Chondro-protective effects of polydatin in osteoarthritis through its effect on restoring dysregulated autophagy via modulating MAPK, and PI3K/Akt signaling pathways [J]. Sci Rep, 2019, 9 (1): 13906-13913.
- [8] Cui J, Zhang F, Wang Y, et al. Macrophage migration inhibitory factor promotes cardiac stem cell proliferation and endothelial differentiation through the activation of the PI3K/Akt/mTOR and AMPK pathways [J]. Int J Mol Med, 2016, 37(5): 1299-1309.
- [9] 吴中华, 闫玲玲, 杨爱东, 等. 鱼腥草素钠对慢性阻塞性

^{**}P < 0.01 vs control group; **P < 0.01 vs model group

- 肺疾病模型大鼠肺组织 PI3K、AKT1 及 mTOR mRNA 表达的影响 [J]. 中国实验动物学报, 2018, 26(1): 8-12.
- [10] Wang Z, Li R, Zhong R. Extracellular matrix promotes proliferation, migration and adhesion of airway smooth muscle cells in a rat model of chronic obstructive pulmonary disease via upregulation of the PI3K/AKT signalingpathway[J].MolMedRep,2018,18(3):3143-3152.
- [11] 李敏静, 陈 晔, 蔡宛如, 等. 温肾益气颗粒对慢性阻塞性肺疾病大鼠气道平滑肌细胞增殖及 PI3K/AKT/mTOR 信号通路表达的影响 [J]. 中华中医药杂志, 2019, 34(4): 1711-1714.
- [12] 钟华林, 李玲波, 覃焕桦, 等. 基于 PI3K/AKT/mTOR 信号通路探讨虎杖苷诱导鼻咽癌细胞凋亡的初步研究 [J]. 中国耳鼻咽喉头颈外科, 2019, 26(10): 536-540.